



1

Controle Servo e Regulatório

Prof^a Ninoska Bojorge

Departamento de Engenharia Química e de Petróleo – UFF



Exemplo 3: Tanque de mistura

Relembrando Exemplo da aula anterior

- Objetivo de controle: regular a composição x no tanque, ajustando w_2 .
- Variável perturbação: composição na entrada, x_1
- Suposições:
 - w_1 é constante,
 - Inicialmente o sistema está no estado estacionário,
 - Ambas as composições de alimentação e de saída são diluídas,
 - Vazão de alimentação é constante
 - Na corrente 2 é um material puro

2

Exemplo 3: Modelo do Processo

Balanço de massa

Relembrando

$$\frac{dV}{dt} = \frac{1}{\rho} (w_1 + w_2 - w)$$

Balanço por componente

$$\frac{dx}{dt} = \frac{w_1}{V\rho} (x_1 - x) + \frac{w_2}{V\rho} (x_2 - x)$$

$$V\rho \frac{dx}{dt} = w_1 x_1 - w_1 x + w_2 x_2 - w_2 x$$

$$V\rho \frac{dx}{dt} = wx_1 - wx + w_2$$

3

Exemplo 3: Modelo do Processo

No estado de equilíbrio:

Re-lembrando

$$0 = \bar{w}\bar{x}_1 - \bar{w}\bar{x} + \bar{w}_2$$

Em termo de variável desvio:

$$V\rho \frac{dx'}{dt} = \bar{w}x'_1 - \bar{w}x' + w'_2$$

Logo:

$$\frac{V\rho}{\bar{w}} \frac{dx'}{dt} = x'_1 - x' + \frac{1}{\bar{w}}w'_2$$

$$\tau \frac{dx'}{dt} = x'_1 - x' + Kw'_2$$

4

Exemplo 3: Modelo do Processo

Aplicando transformada de Laplace

Re-lembrando

$$\tau(sX'(s) - \underbrace{X'(0)}_{=0}) = X_1'(s) - X'(s) + KW_2'(s)$$

$$X'(s)(\tau s + 1) = X_1'(s) + KW_2'(s)$$

$$\frac{X'(s)}{X_1'(s)} = G_1(s) = \frac{1}{\tau s + 1}$$

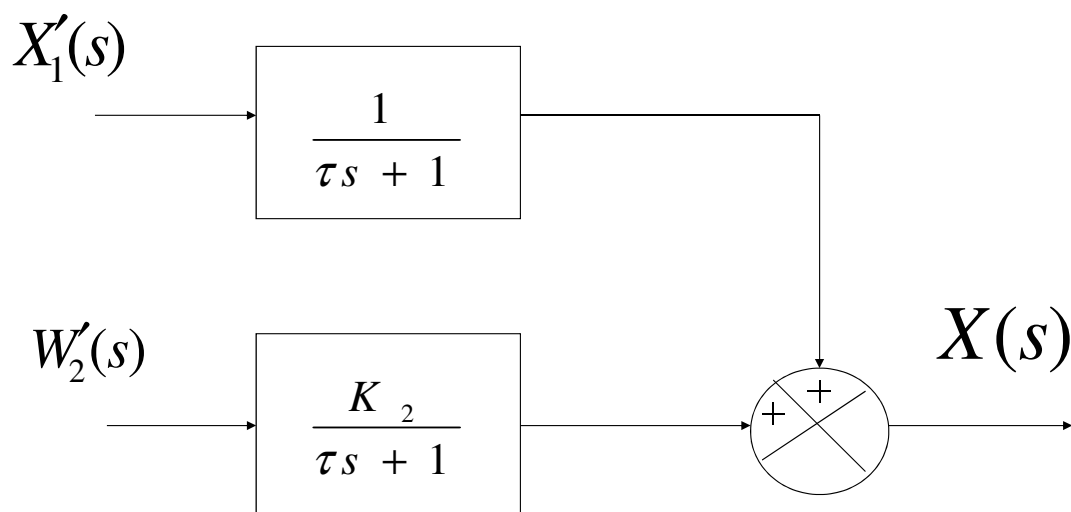
$$\frac{X'(s)}{W_2'(s)} = G_2(s) = \frac{K}{\tau s + 1}$$

5

Exemplo 3: Modelo do Processo

Representação em Diagrama de Bloco

Re-lembrando



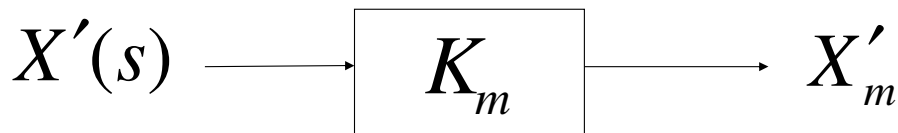
6

Modelo do elemento de medição

Assume-se que o comportamento dinâmico do sensor- transmissor da composição pode ser aproximado por uma função de transferência de primeira ordem;

$$\frac{X'_m(s)}{X'(s)} = \frac{K_m}{\tau_m s + 1}$$

quando, $\tau \gg \tau_m$ pode ser assumido como sendo igual a zero.



7

Modelos do controlador

$$\frac{C'(s)}{E(s)} = K_C \quad \text{Controle proporcional}$$

$$\frac{C'(s)}{E(s)} = K_C \left(1 + \frac{1}{\tau_I s} \right) \quad \text{Proporcional-integral}$$

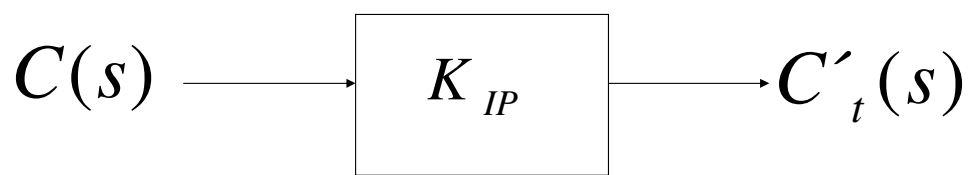
$$\frac{C'(s)}{E(s)} = K_C (1 + \tau_D s) \quad \text{Proporcional derivativo}$$

$$\frac{C'(s)}{E(s)} = K_C \left(1 + \frac{1}{\tau_I s} + \tau_D s \right) \quad \text{Proporcional-integral -derivativo}$$

8

Assumese um conversor linear com um ganho em estado de equilíbrio K_{IP} .

$$\frac{C_t(s)}{C(s)} = K_{IP}$$



Assumindo um comportamento de primeira ordem para a válvula dá:

$$\frac{W_2'(s)}{C_t'(s)} = \frac{K_v}{\tau_v s + 1}$$

$X'_d(s)$ Mudança na composição de saída devido à mudança na composição de entrada $X'_1(s)$

$X'_u(s)$ Mudança na composição de saída devido a uma mudança na composição de entrada $W'_2(s)$

$X'_{sp}(s)$ Set-point da composição (fração massa)

$\tilde{X}'_{sp}(s)$ set-point da composição como um sinal de corrente elétrica equivalente.

Exemplo 3: Representação da malha de controle

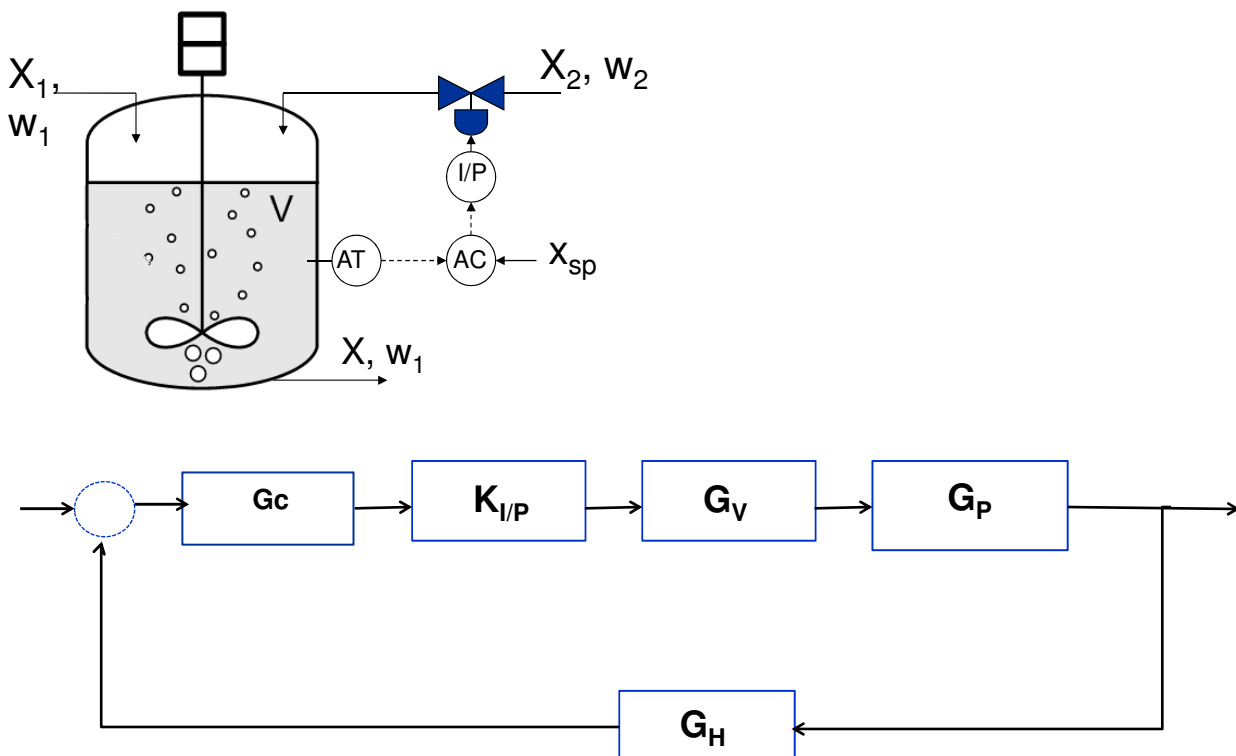
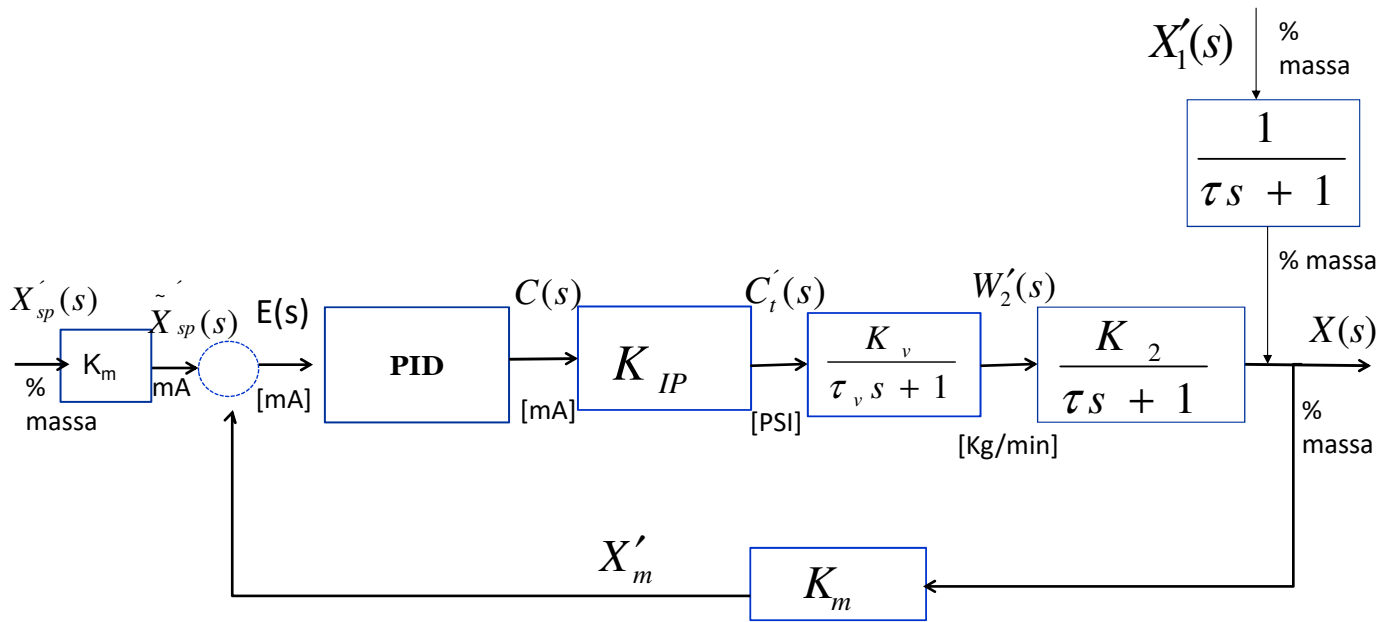


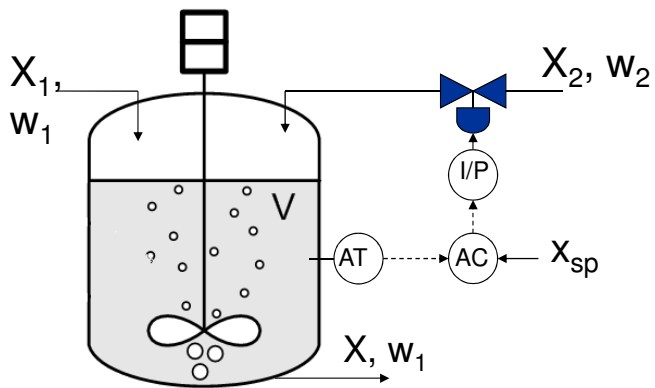
Diagrama de bloco completo para o sistema de controle de composição no tanque de mistura



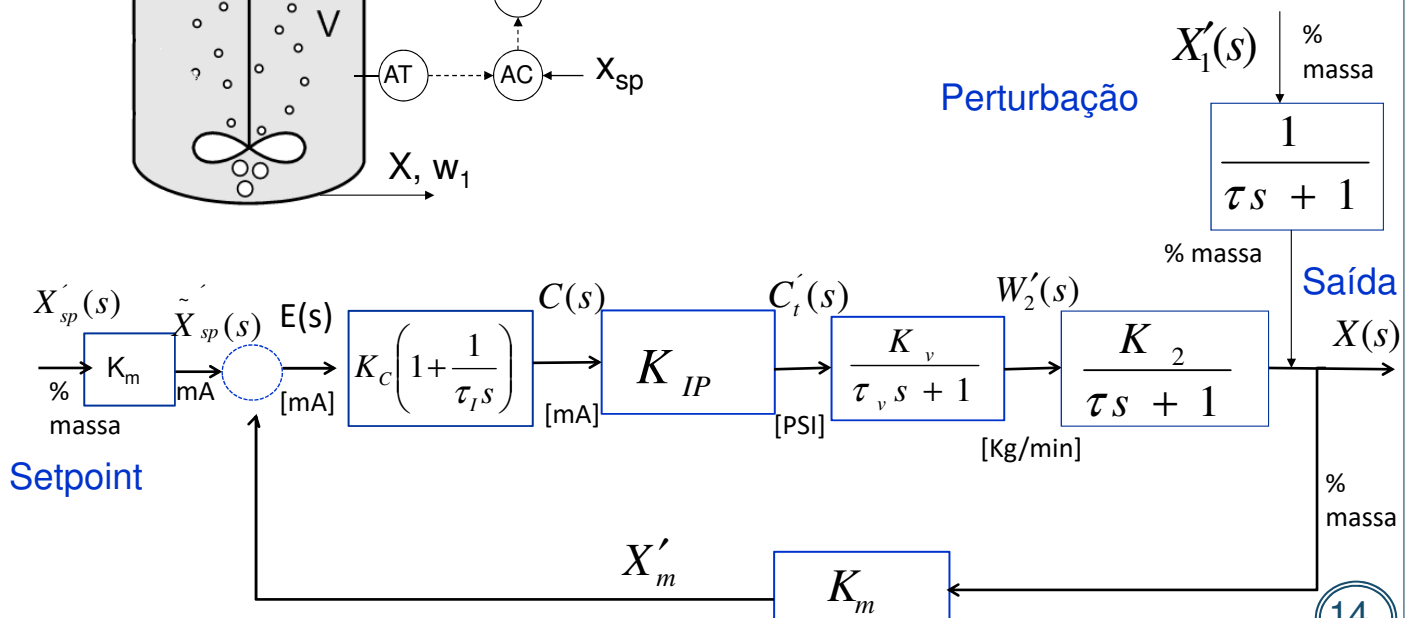
13

Sistema de mistura de correntes

Relembrando Exemplo da aula anterior



Perturbação



Setpoint

14

Problemas típicos de Controle

1) Controle Regulatório

- A tarefa é compensar os efeitos de perturbações externas, a fim de manter a saída no seu ponto de ajuste constante (rejeição de distúrbios)

2) Controle Servo

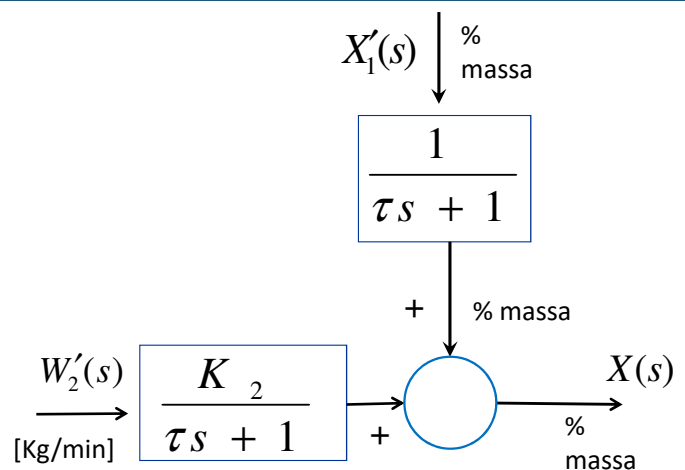
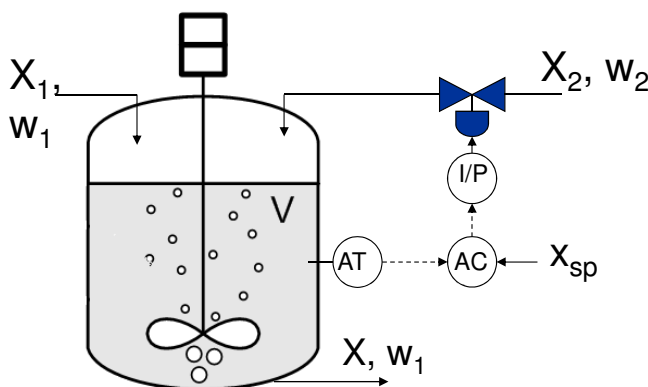
- O objetivo é fazer com que a saída para controlar a mudança de set-point

Em ambos os casos, uma ou mais variáveis são manipuladas pelo sistema de controle.

15

Exemplo

• Processo de mistura



Variações na composição de saída são detectados pelo sensor do transmissor de composição e enviada para o controlador fazendo com que o sinal de saída do controlador varie. Isto é, por sua vez faz com que a posição da válvula de controle e, conseqüentemente, o fluxo do fluido da corrente 2 mude. As variações no fluxo de corrente faz variar a composição de saída, completando assim o ciclo.

16

Exemplo: O sistema trocador de calor

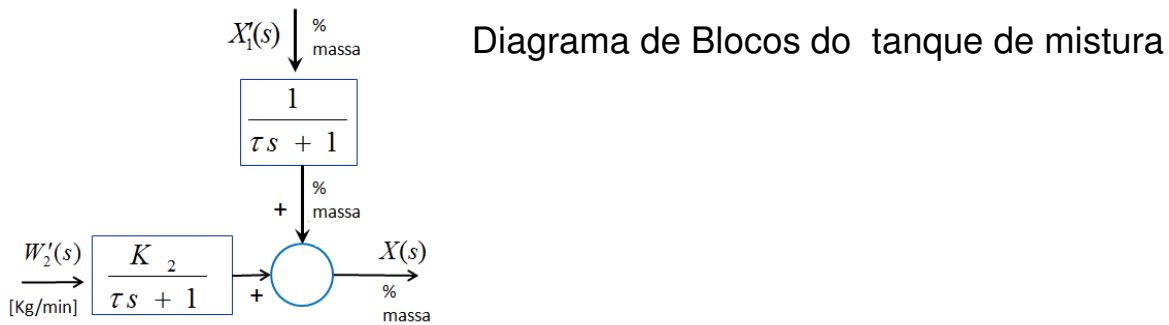
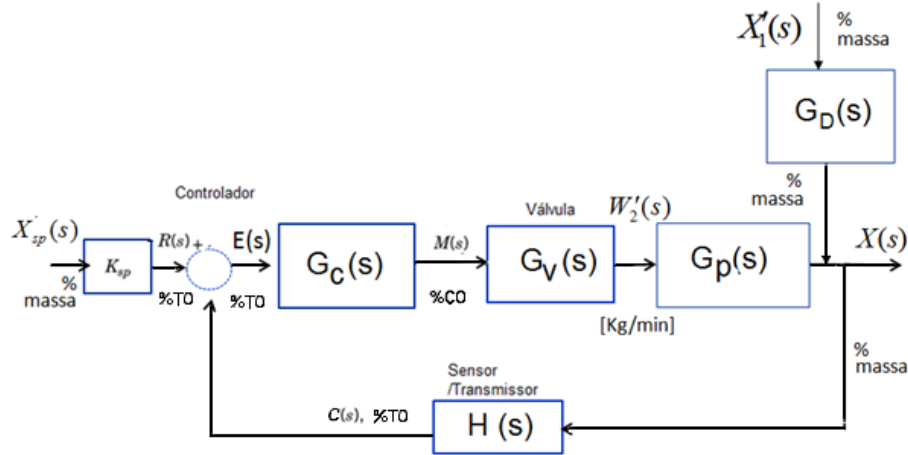


Diagrama de Blocos da malha de controle da Composição no tanque



17

Função de Transferência - Malha fechada

Analisando a malha fechada, temos:

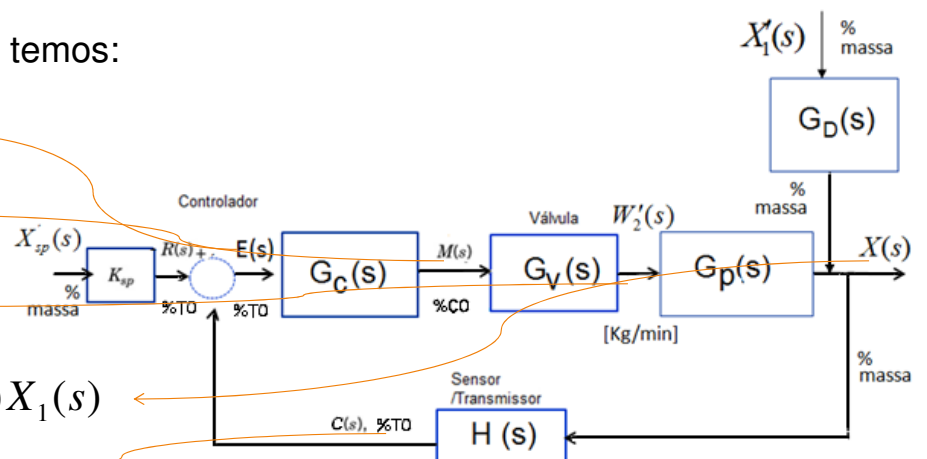
$$E(s) = K_{SP} X_{sp} - C(s)$$

$$M(s) = G_C(s) E(s)$$

$$W_2(s) = G_V(s) M(s)$$

$$X(s) = G_P(s) W_2(s) + G_D(s) X_1(s)$$

$$C(s) = H(s) X(s)$$



18

Função de Transferência - Malha fechada

Analisando a malha fechada, temos:

$$E(s) = K_{SP} X_{sp} - C(s)$$

$$M(s) = G_C(s)E(s)$$

$$W_2(s) = G_V(s)M(s)$$

$$X(s) = G_P(s)W_2(s) + G_D(s)X_1(s)$$

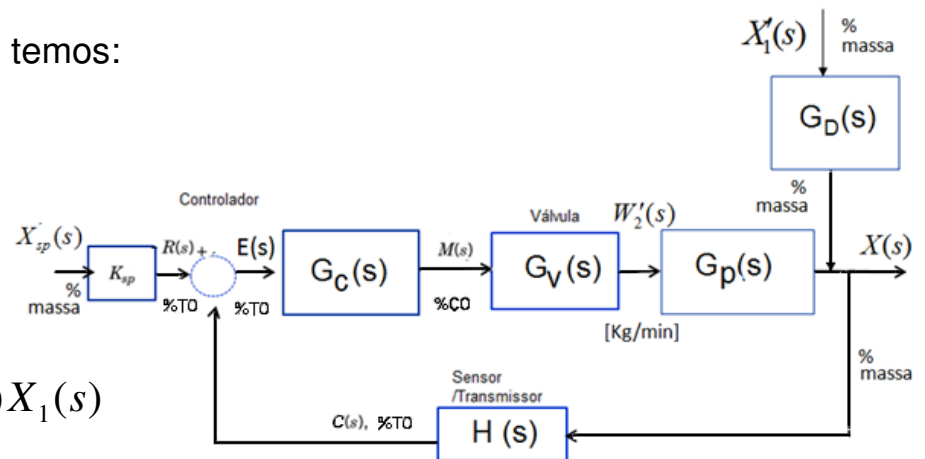
$$C(s) = H(s)X(s)$$

$$X(s) = G_P(s)W_2(s) + G_D(s)X_1(s)$$

$$X(s) = G_P(s)G_V(s)M(s) + G_D(s)X_1(s)$$

$$X(s) = G_P(s)G_V(s)G_C(s)[K_{sp} X_{SP} - H(s)X(s)] + G_D(s)X_1(s)$$

$$[1 + G_P(s)G_V(s)G_C(s)H(s)]X(s) = K_{sp} X_{SP}(s) + G_D(s)X_1(s)$$

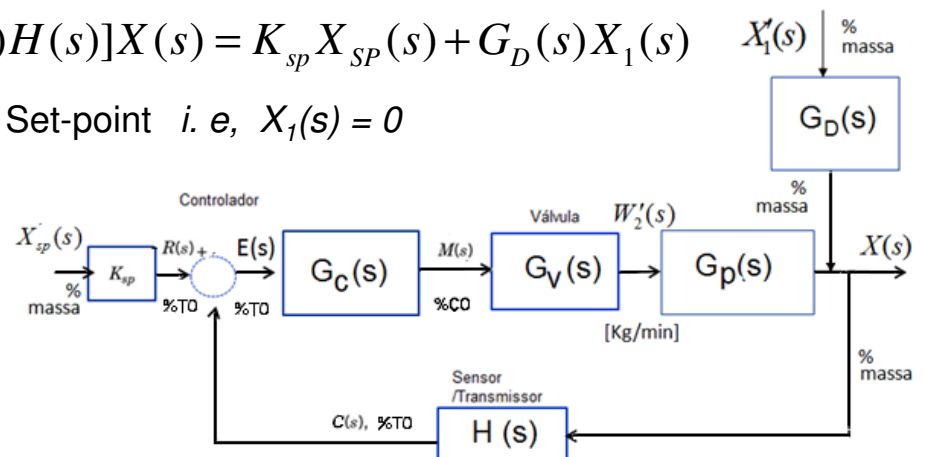


19

Função de Transferência - Malha fechada

$$[1 + G_P(s)G_V(s)G_C(s)H(s)]X(s) = K_{sp} X_{SP}(s) + G_D(s)X_1(s)$$

Considerando, variação no Set-point *i. e.*, $X_1(s) = 0$



Então:

$$\frac{X(s)}{X_{sp}(s)} = \frac{K_{sp} G_p(s)G_V(s)G_C(s)}{1 + H(s)G_p(s)G_V(s)G_C(s)}$$

20

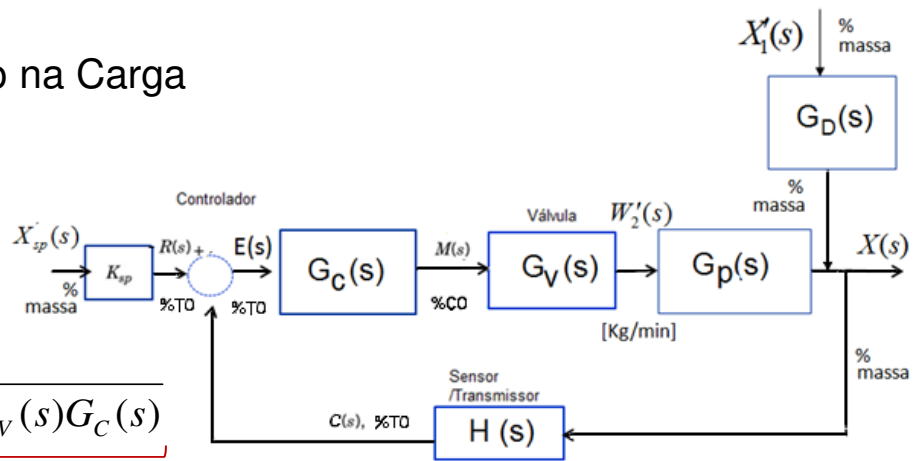
Função de Transferência malha fechada... cont.

Considerando, variação na Carga

$$X_{SP} = 0$$

Assim,

$$\frac{X(s)}{X_1(s)} = \frac{G_D(s)}{1 + \underbrace{H(s)G_p(s)G_V(s)G_C(s)}}_{\text{Controlador}}$$

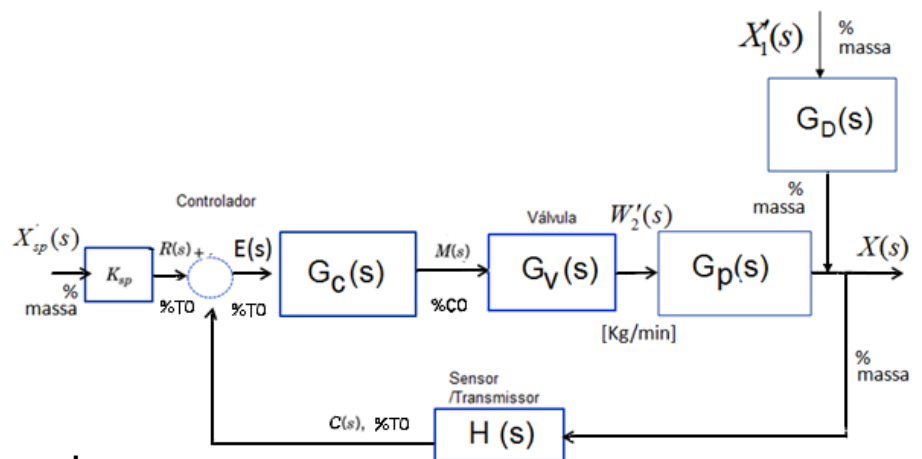


Observa-se que na equação característica:

$$H(s)G_p(s)G_V(s)G_C(s) = \left(\frac{\%TO}{\%massa} \right) \left(\frac{\%massa}{Kg/min} \right) \left(\frac{Kg/min}{\%CO} \right) \left(\frac{\%CO}{\%TO} \right) = \text{Adimensional}$$

21

Função de Transferência da Malha Fechada– Contin.



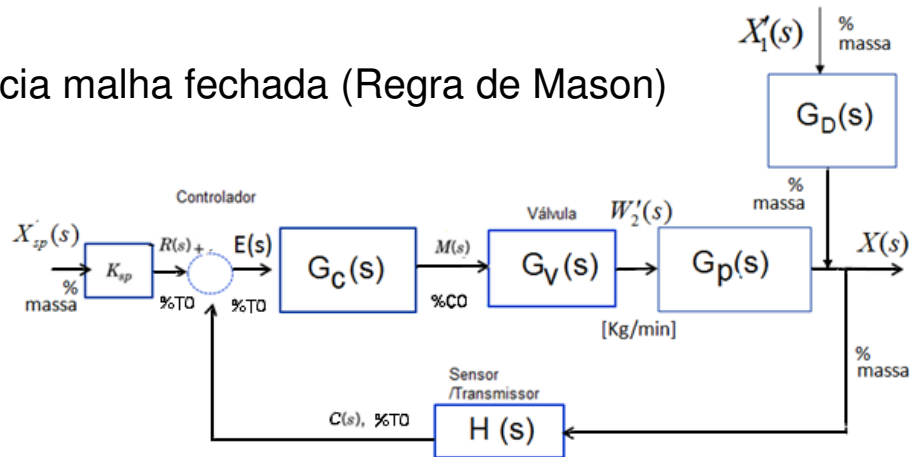
No caso geral, a resposta:

$$X(s) = \frac{K_{sp} G_p(s)G_V(s)G_C(s)}{1 + H(s)G_p(s)G_V(s)G_C(s)} X_{sp}(s) + \frac{G_D(s)}{1 + H(s)G_p(s)G_V(s)G_C(s)} X_1(s)$$



Função de Transferência da Malha Fechada– Contin.

A função de transferência malha fechada (Regra de Mason)



$$\frac{Z}{Z_i} = \frac{\pi}{1 + \pi_f}$$

Z = Variável de saída

Z_f = Variável de Entrada

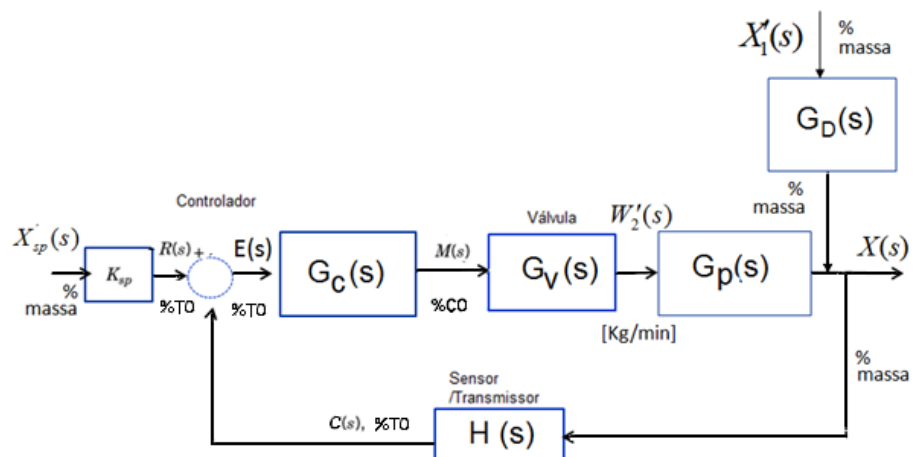
Π = produto no caminho de Z_i a Z

Π_f = produto de cada função de transferência na malha de retroalimentação

23

Função de Transferência da Malha Fechada– Contin.

$$\frac{Z}{Z_i} = \frac{\pi}{1 + \pi_f}$$



$$X(s) = \frac{K_{sp} G_p(s) G_V(s) G_C(s)}{1 + H(s) G_p(s) G_V(s) G_C(s)} X_{sp}(s)$$

$$X(s) = \frac{G_D(s)}{1 + H(s) G_p(s) G_V(s) G_C(s)} X_1(s)$$



Exemplo

Dados das condições de projeto:

Processo:

No alimentador tem:

$$\rho = 68 \text{ lb/ft}^3, C_p = 0,8 \text{ BTU/lb}^\circ\text{F}$$

$$V = 120 \text{ ft}^3 \text{ (constante)}$$

$$U = 2,1 \text{ BTU/min.ft}^2$$

$$F = 15 \text{ ft}^3/\text{min}$$

$$T_i = 100 \text{ }^\circ\text{F (constante)}$$

$$T^{sp} = 150 \text{ }^\circ\text{F}$$

C_M : Capacitância de calor do metal

Sensor de Temperatura:

Faixa: 100 a 200 $^\circ\text{F}$ e $\tau_T = 0,75 \text{ min}$

Válvula: Igual Porcentagem, $\alpha = 50$, $\tau_V = 0,20 \text{ min}$

Fonte: (Smith e Corripio. P. 181)

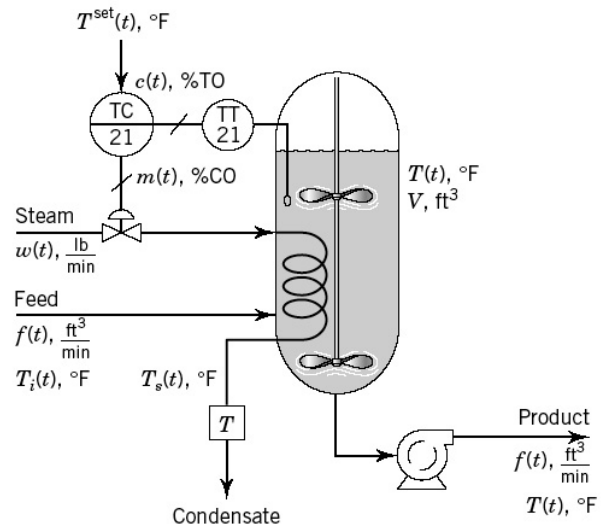


Figure 6-1.5 Temperature control of the stirred tank heater of Example 6-1.1.

25

Exemplo – Cont.

Solução:

Balço de energia no Reservatório

$$\frac{dH}{dt} = H_{in}(t) - H(t) + Q(t) + W_S(t) \quad [\text{J/s}] \text{ ou } [\text{BTU}/\text{min}]$$

$$\Delta H = mC_p(T - T_{ref})$$

$$m c_p \frac{dT}{dt} = f_i(t) \rho_i c_p T_i(t) - f(t) \rho c_p T(t) + UA [T_s(t) - T(t)]$$

$$V \rho c_p \frac{dT}{dt} = f(t) \rho c_p T_i(t) + UA [T_s(t) - T(t)] - f(t) \rho c_p T(t) \quad (\text{eq 1})$$

Exemplo – Cont.

Balanco de energia na serpentina

$$C_M \frac{dT_s}{dt} = w(t)\lambda - UA[T_s(t) - T(t)] \quad (\text{eq2})$$

$$\left[\frac{BTU}{\text{min}} \right] \left[\frac{\text{lb}}{\text{min}} \right] \left[\frac{BTU}{\text{lb}} \right] \quad \left[\frac{BTU}{\text{min} \cdot \text{ft}^2 \cdot \text{F}} \right] \left[\text{ft}^2 \right] \left[\text{F} \right]$$

27

Exemplo – Cont.

Solução:

Retomando eq.1

Balanco de energia no Reservatório

$$V\rho c_p \frac{dT}{dt} = f(t)\rho c_p T_i(t) + UA[T_s(t) - T(t)] - f(t)\rho c_p T(t) \quad (\text{eq 1})$$

Linearizando termos não lineais.

$$f_{lin} = \bar{f}_i \rho c_p \bar{T}_i + \left(\frac{\partial f}{\partial f_i} \right)_{ss} (f_i(t) - \bar{f}_i) + \left(\frac{\partial f}{\partial T_i} \right)_{ss} (T_i(t) - \bar{T}_i)$$

$$f_{lin} = \bar{f}_i \rho c_p \bar{T}_i + \rho c_p \bar{T}_i \overset{\Delta}{f} + \rho c_p \bar{f}_i \overset{\Delta}{T}_i$$

28

Exemplo – Cont.

Solução:

Balanco de energia no Reservatório no estado estacionário

$$0 = \bar{f} \rho c_p \bar{T}_i + UA [\bar{T}_s - \bar{T}] - \bar{f} \rho c_p \bar{T} \quad (\text{eq 3})$$

Balanco de energia na serpentina no estado estacionário

$$0 = \bar{w} \lambda - UA [\bar{T}_s - \bar{T}] \quad (\text{eq 4})$$

Em termo de variáveis desvio:

$$V \rho c_p \frac{d\Gamma}{dt} = \rho c_p (T_i - \bar{T}) F(t) + UA \Gamma_s(t) - (\bar{f} \rho c_p + UA) \Gamma(t) \quad (\text{eq 5})$$

$$C_M \frac{d\Gamma_s}{dt} = \lambda W(t) - UA \Gamma_s(t) + UA \Gamma(t) \quad (\text{eq 6})$$

29

Exemplo – Cont.

Solução...cont.:

Aplicando Transformada de Laplace nas eqs (5) e (6) e rearranjando:

$$\Gamma(s) = \frac{K_F}{\tau s + 1} F(s) + \frac{K_s}{\tau s + 1} \Gamma_s(s) \quad (7)$$

$$\Gamma_s(s) = \frac{1}{\tau_c s + 1} \Gamma(s) + \frac{K_w}{\tau_c s + 1} W(s) \quad (8)$$

onde:

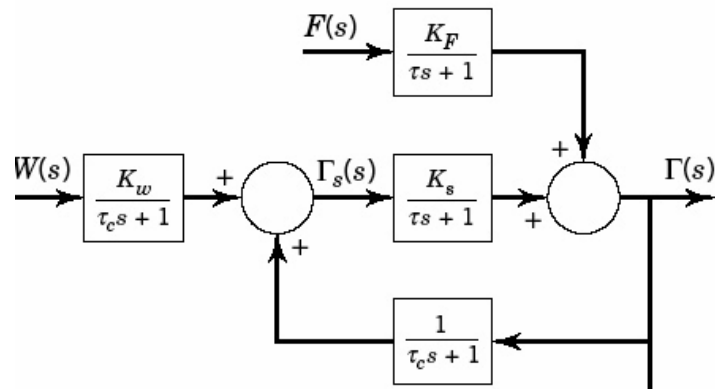
$$\tau_c = \frac{C_M}{UA}; \quad \tau = \frac{V \rho C_P}{UA + \bar{f} \rho C_P}; \quad K_w = \frac{\lambda}{UA}; \quad K_F = \frac{\rho C_P (T_i - \bar{T})}{UA + \bar{f} \rho C_P}$$

$$K_s = \frac{UA}{UA + \bar{f} \rho C_P}$$

30

Exemplo – Cont.

Em termo de diagrama de blocos o modelo do processo do aquecedor com agitação:



$$\begin{aligned}\Gamma(s) &= F(s) \frac{K_F}{\tau_s + 1} + \Gamma_s \frac{K_s}{\tau_s + 1} \\ &= F(s) \frac{K_F}{\tau_s + 1} + \left(W(s) \frac{K_w}{\tau_c s + 1} + \Gamma(s) \frac{1}{\tau_c s + 1} \right) \frac{K_s}{\tau_s + 1} \\ &= F(s) G_F(s) + W(s) G_s(s)\end{aligned}$$

31

Exemplo – Cont.

Dinâmica da válvula

A função de transferência da válvula de igual porcentagem com ΔP cte, (pg 154):

$$G_v(s) = \frac{W(s)}{M(s)} = \frac{K_v}{\tau_v s + 1}; \quad K_v = \frac{\bar{w}(\ln \alpha)}{100}$$

Sensor-transmissor

$$G_T(s) = \frac{K_T}{\tau_T s + 1}; \quad K_T = \frac{100 - 0}{200 - 100} = 1 \frac{\%ST}{^\circ F}$$

32

Exemplo – Cont.

A seguinte tabela fornece os valores numéricos de todos os parâmetros nas F. T, calculados a partir dos dados fornecidos no enunciado do problema:

Table 6-1.1 Parameters for Example 6-1.1

$A = 241.5 \text{ ft}^2$	$\tau = 4.93 \text{ min}$
$C_M = 265.7 \text{ Btu}/^\circ\text{F}$	$\tau_c = 0.524 \text{ min}$
$K_F = 2.06^\circ\text{F}/(\text{ft}^3/\text{min})$	$K_w = 1.905^\circ\text{F}/(\text{lb}/\text{min})$
$K_s = 0.383^\circ\text{F}/^\circ\text{F}$	$K_{sp} = K_T = 1.0 \text{ \%TO}/^\circ\text{F}$
$K_v = 1.652 (\text{lb}/\text{min})/\text{\%CO}$	$\tau_v = 0.20 \text{ min}$
$\tau_T = 0.75 \text{ min}$	

33

Exemplo – Cont.

Assim, os diagramas de blocos da malha de controle:

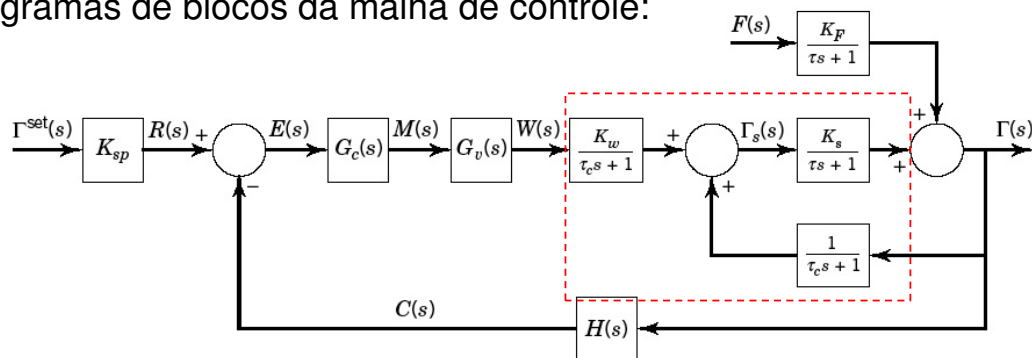


Figure 6-1.6 Block diagram of temperature control loop of stirred tank heater.

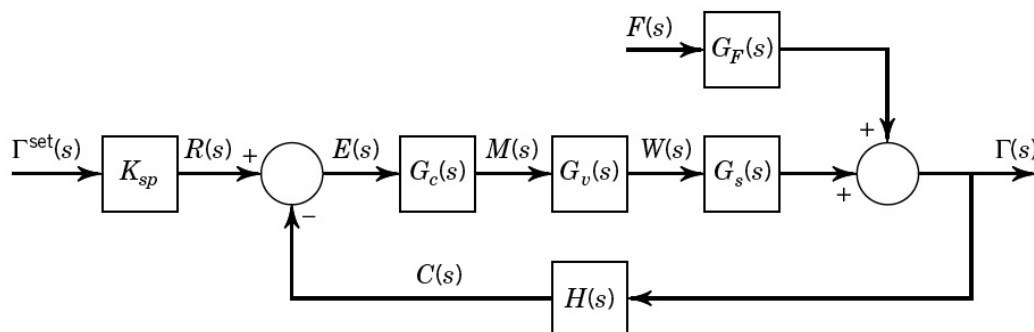


Figure 6-1.7 Simplified block diagram of temperature control loop.

34

A partir da fig. 6.1.7, a transformada da malha fechada da temperatura de saída do transmissor é, então:

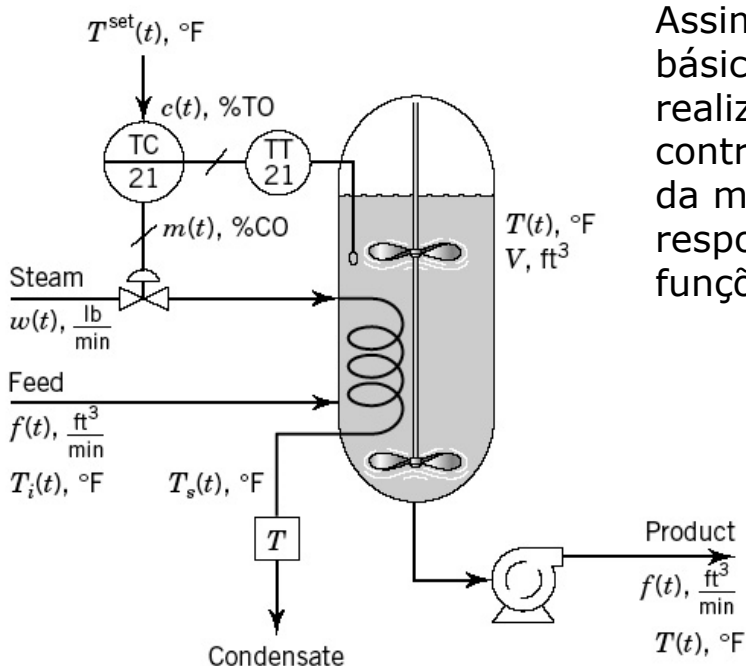
$$\pi_R = G_C(s)G_V(s)G_S(s)$$

$$\pi_F = G_F(s)$$

$$\pi_f = G_C(s)G_V(s)G_S(s)G_T(s)$$

$$C(s) = \frac{G_C(s)G_V(s)G_S(s)}{1 + G_C(s)G_V(s)G_S(s)G_T(s)} R(s) + \frac{G_F(s)}{1 + G_C(s)G_V(s)G_S(s)G_T(s)} F(s)$$

Exemplo – Cont.



Assim, vimos como a partir dos princ. básicos de engenharia de processos, realiza-se a análise da malha de controle feedback. E a partir das FTs da malha fechada podemos calcular a resposta da malha fechada a varias funções de entrada.

Figure 6-1.5 Temperature control of the stirred tank heater of Example 6-1.1.

Exemplo: o sistema trocador de calor

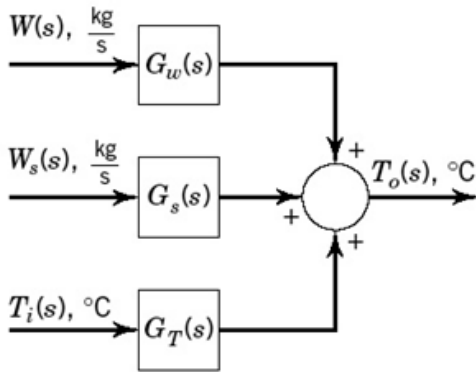


Diagrama de blocos do trocador de calor
(Fonte: Fig. 6..1.2, Cap. 6- Smith & Corripio)

Supondo que $T_i(s)$ é constante, pelo que omitisse no diagrama.

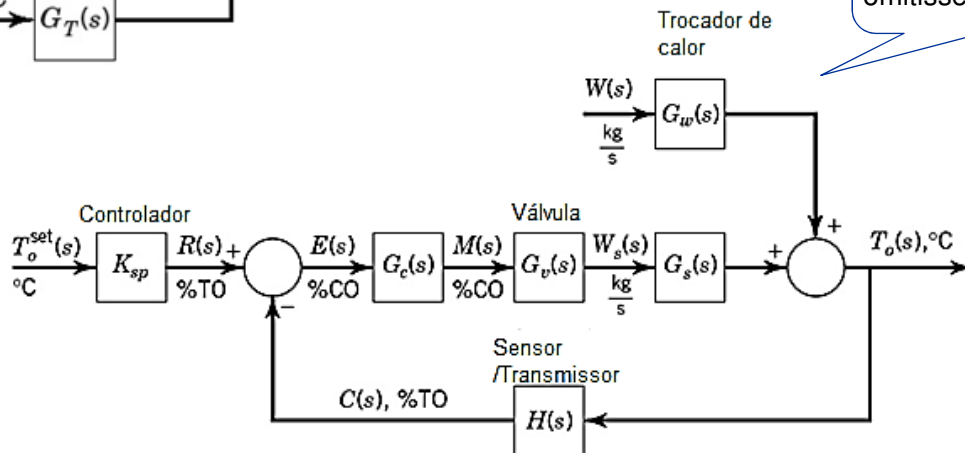


Diagrama de Blocos da malha de controle da Temperatura no trocador de calor

Função de Transferência Malha Fechada

Analisando a malha fechada, temos:

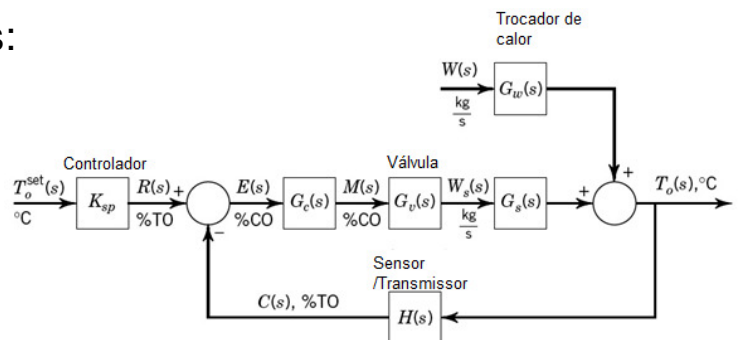
$$E(s) = K_{sp} T_o^{set} - C(s)$$

$$M(s) = G_c(s) E(s)$$

$$W_s(s) = G_v(s) M(s)$$

$$T_o(s) = G_s(s) W_s(s) + G_w(s) W(s)$$

$$C(s) = H(s) T_o(s)$$



Eliminando todas as variáveis intermediárias através da combinação das eqs anteriores, temos:

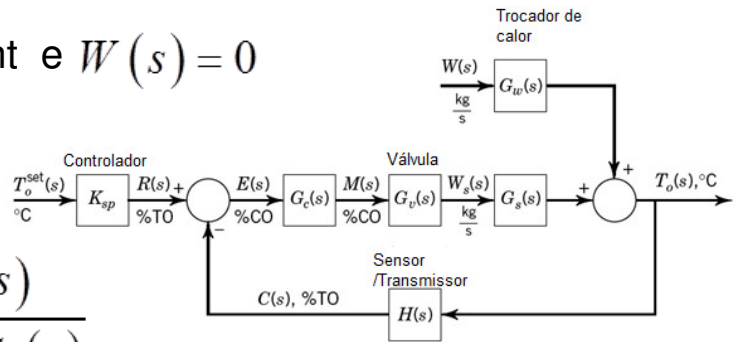
$$(1 + H(s)G_s(s)G_v(s)G_c(s))T_o(s) = (K_{sp}G_s(s)G_v(s)G_c(s))T_o^{sp}(s) + G_w(s)W(s)$$

Função de Transferência Malha Fechada

Considerando, variação no Set-point e $W(s) = 0$

Então:

$$\frac{T_o(s)}{T_o^{set}(s)} = \frac{K_{sp} G_s(s) G_v(s) G_c(s)}{1 + H(s) G_s(s) G_v(s) G_c(s)}$$



Considerando, variação na carga e $T_o^{set} = 0$, temos:

$$\frac{T_o(s)}{W(s)} = \frac{G_w(s)}{1 + H(s) G_s(s) G_v(s) G_c(s)}$$

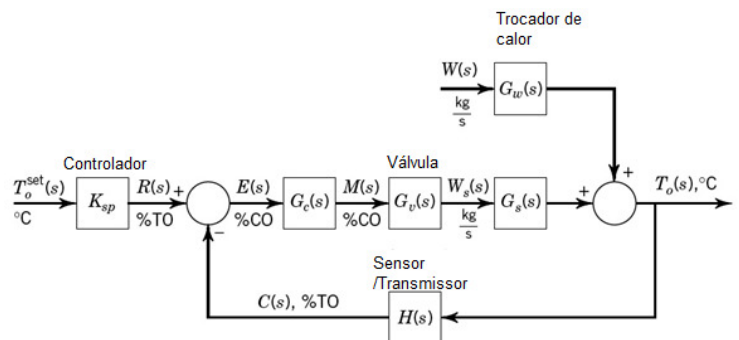
$$\therefore H(s) G_s(s) G_v(s) G_c(s) = \left(\frac{\%TO}{^\circ C} \right) \left(\frac{^\circ C}{kg/s} \right) \left(\frac{kg/s}{\%CO} \right) \left(\frac{\%CO}{\%TO} \right)$$

39

Função de Transferência Malha Fechada

Pela Regra de Mason)

$$\frac{Z}{Z_i} = \frac{\pi}{1 + \pi_f}$$



$$T_o(s) = \frac{G_w(s)}{1 + H(s) G_s(s) G_v(s) G_c(s)} W(s) + \frac{K_{sp} G_s(s) G_v(s) G_c(s)}{1 + H(s) G_s(s) G_v(s) G_c(s)} T_o^{set}(s)$$

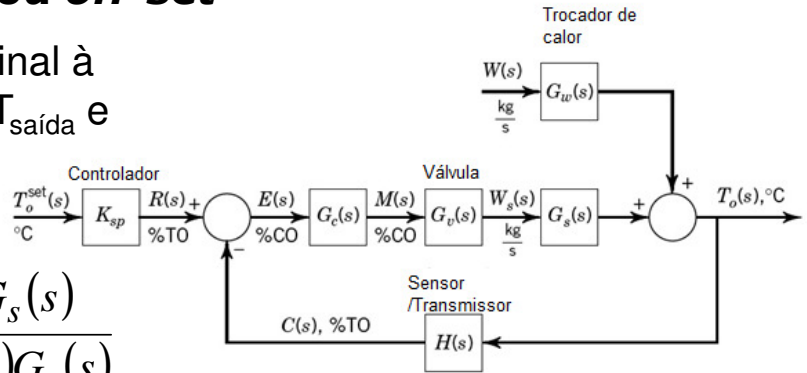
40

Calculo do erro residual ou *off-set*

Aplicando o teorema do valor final à FT da malha fechada entre a $T_{saída}$ e o SP.

$$\lim_{t \rightarrow \infty} f(t) = \lim_{s \rightarrow 0} sF(s)$$

$$\frac{T_o(s)}{\Delta T_o^{set}(s)} = \frac{K_{sp} G_c(s) G_v(s) G_s(s)}{1 + H(s) G_c(s) G_v(s) G_s(s)}$$



• Calculo do erro residual

Aplicando o teorema do valor final à FT da malha fechada entre a $T_{saída}$ e o fluxo do fluido do processo:

$$\frac{T_o(s)}{W(s)} = \frac{G_w(s)}{1 + H(s) G_c(s) G_v(s) G_s(s)}$$

$$\frac{\Delta T_o(0)}{\Delta W(0)} = \frac{G_w(0)}{1 + H(0) G_c(0) G_v(0) G_s(0)}$$

$$= \frac{K_w}{1 + K_T K_c K_v K_s} = \frac{K_w}{1 + K_{OL}}$$

o erro residual ($\Delta T_o^{sp} - \Delta T_o$) diminui à medida que o ganho do controlador, K_c , aumenta.

- Para o trocador de calor, calcule as proporções para o erro estacionário na temperatura de saída para

- Variação no fluxo do processo
- Variação no setpoint

As condições operacionais do processo e especificações dos instrumentos são:

Fluxo do fluido do processo	$w = 120 \text{ kg/s}$
Temperatura de entrada	$T_i = 50 \text{ }^\circ\text{C}$
Setpoint	$T_{sp} = 90^\circ\text{C}$
Capacidade calorífica do fluido ,	$C_p = 3.75 \text{ KJ/Kg}^\circ\text{C}$
Calor latente do vapor	$\lambda = 2250 \text{ kJ/kg}$
Capacidade da válvula	$w_s, \text{ max} = 1,6 \text{ kg/s}$
Faixa do transmissor	$50 - 150 \text{ }^\circ\text{C}$

Exemplo: Novo estado estacionário do tanque de aquecimento

1. Controle Servo com $K_c=1$; $\Delta T_{set}=1$

$$\frac{\Delta T}{\Delta T_{set}} = \frac{K_c K_v K_s}{1 + K_c K_v K_s} = \frac{2 \times 1.652 \times 1.183}{1 + 2 \times 1.652 \times 1.183} = \frac{3.9086}{4.9086} = 0.7963$$

$$\Delta T_{set} = 1$$

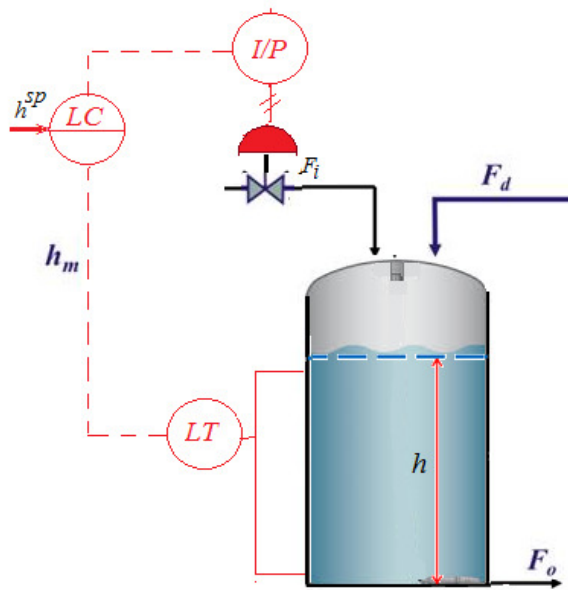
$$T = 150 + 1 \times \Delta T = 150.7963$$

2. Controle Regulatório com $\Delta F = 1$

$$\frac{\Delta T}{\Delta F} = \frac{K_F}{1 + K_c K_v K_s} = \frac{-3.34}{1 + 2 \times 1.652 \times 1.183} = \frac{-3.34}{4.9086} = -0.6804$$

$$T = 150 + \Delta T = 149.3196$$

Resposta malha fechado do nível de líquido num tanque



- Processo:** O processo tem duas entradas e uma saída. Uma entrada pode ser manipulada enquanto que F_d é a perturbação. A saída F_o varia proporcionalmente com a raiz quadrada do nível do líquido no tanque como, o balanço de massa em torno do tanque dá-se o seguinte modelo:

$$A \frac{dh}{dt} = F_i + F_d - F_o$$

$$= F_i + F_d - C\sqrt{h}$$

Resposta malha fechado do nível de líquido num tanque

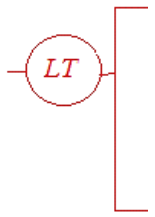
Linearizando e reescrevendo em termos de variáveis desvios:

$$\hat{H}(s) = \frac{\left(\frac{2\sqrt{\bar{h}}}{c}\right)}{\left[\left(\frac{2A\sqrt{\bar{h}}}{c}\right)s+1\right]} \hat{F}_i(s) + \frac{\left(\frac{2\sqrt{\bar{h}}}{c}\right)}{\left[\left(\frac{2A\sqrt{\bar{h}}}{c}\right)s+1\right]} \hat{F}_D(s)$$

$$\hat{H}(s) = G_P(s) \hat{F}_i(s) + G_D \hat{F}_D(s)$$

Resposta malha fechado do nível de líquido num tanque

Sensor de Nível : célula de Pressão diferencial (DP) é um dispositivo de medição que mede a pressão diferencial (ΔP) entre duas extremidades. Neste exemplo, a célula DP mede a altura do nível do líquido no tanque através da comparação da pressão exercida pelo líquido numa extremidade contra a pressão atmosférica no outro. A pressão exercida pelo líquido na célula DP é linearmente proporcional à altura do líquido, daqui:


$$\bar{h}_m(s) = \frac{K}{\tau^2 s^2 + 2\xi\tau s + 1} h(s)$$

Resposta malha fechado do nível de líquido num tanque

- Controlador PI:

$$\bar{\epsilon}(s) = \bar{h}_{SP} - \bar{h}_m(s)$$

$$\bar{c}(s) = K_c \left(1 + \frac{1}{\tau_i s} \right) \bar{\epsilon}(s)$$

- Válvula de controle, assumindo dinâmica de 1^{ra} ordem :

$$\bar{F}_i(s) = \frac{K_v}{\tau_v s + 1} \bar{c}(s)$$

Resposta malha fechada do nível de líquido num tanque

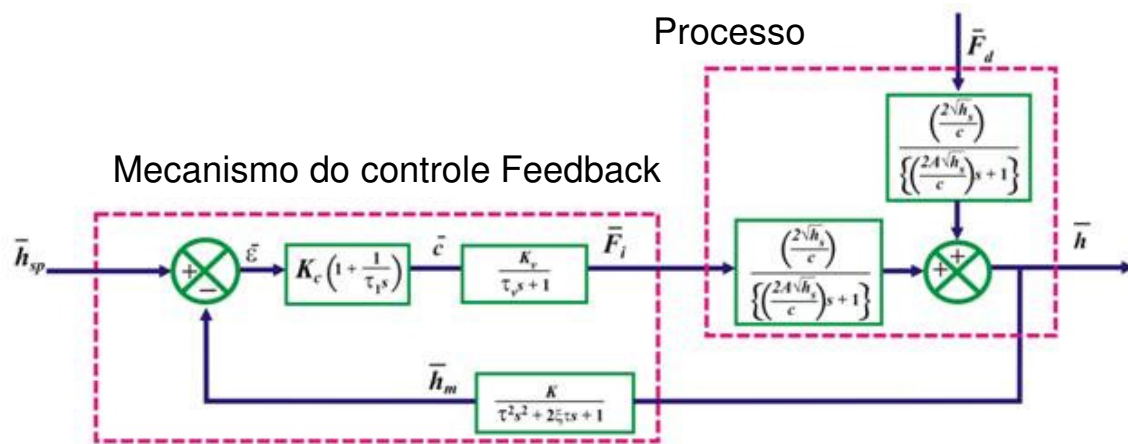


Diagrama Esquemático da configuração do controle malha fechada do nível do líquido no tanque de armazenamento